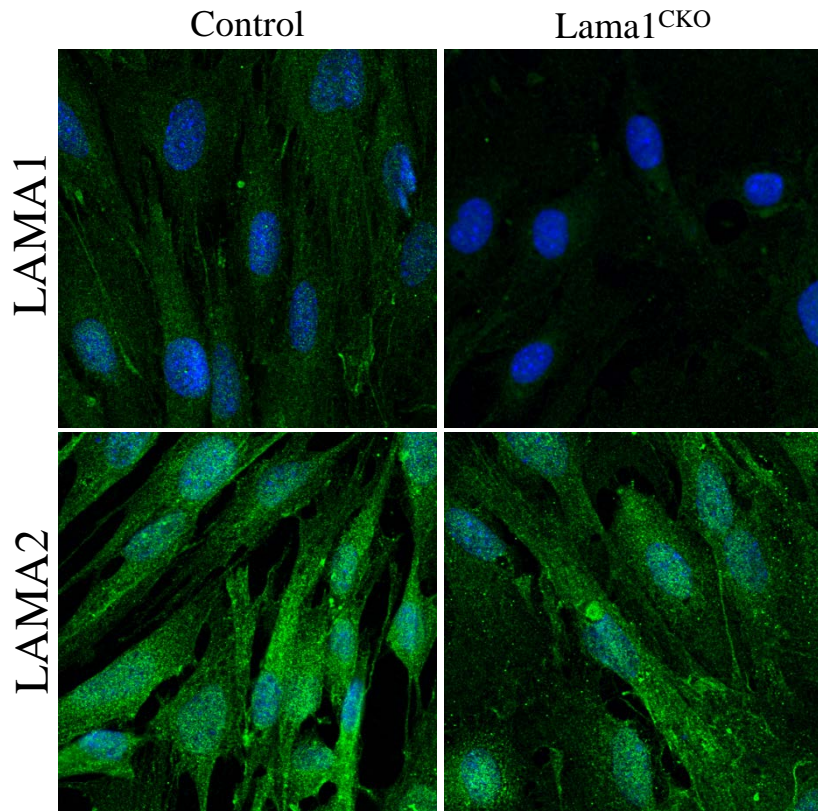


A



B

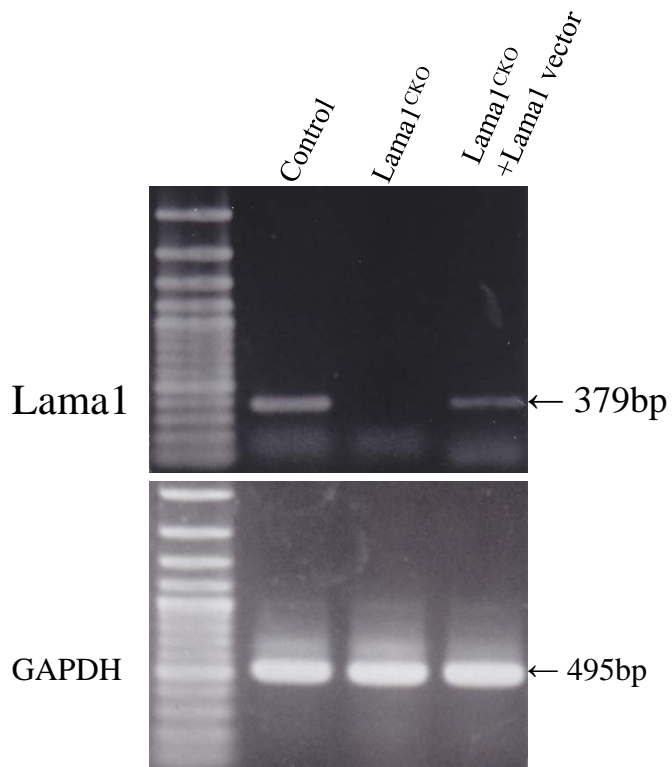


Figure 1. L. Ning et al.